

Исследование дисперсного состава радиоактивных аэрозолей в приземном слое воздуха

Б. И. ОГОРОДНИКОВ, О. Г. СКОТНИКОВА, В. И. СКИТОВИЧ, Л. С. СОЛДАЕВА,
И. Е. КОНСТАНТИНОВ

УДК 551.508.957

Сведения о дисперсном составе радиоактивных аэрозолей необходимы для изучения процессов, происходящих при ядерных взрывах, распространения радиоактивных веществ в атмосфере, создания средств коллективной и индивидуальной защиты и т. д. Поскольку концентрации радиоактивных аэрозолей в приземных слоях воздуха, как правило, невелики, применение импакторов, термопреципитаторов, электроосадителей, центрифуг и других приборов для определения дисперсности аэрозолей встречает серьезные методические и экспериментальные трудности. В настоящей работе использовались многослойные фильтры из волокнистых материалов ФП [4].

С помощью модельных монодисперсных аэрозолей с радиусом частиц $0,05-0,5 \text{ мк}$ были изучены фильтрующие характеристики материалов ФПА-70-0,12; ФПП-70-0,25 и ЛФС-2, отличающихся один от другого диаметром волокон и толщиной слоя. Для получения частиц радиусом $0,05 \text{ мк}$ использовался селен, а более крупных частиц — стеариновая кислота. Просок аэрозолей K , равный отношению числа частиц после прохождения фильтра k числу частиц до него, определялся нефелометрическим методом. На рис. 1 представлена зависимость коэффициента фильтрующего действия $\alpha = -\lg K/\Delta p$ (здесь $[\Delta p]$ — сопротивление фильтра при скорости 1 см/сек) от скорости фильтрации для

ФПП-70-0,25. Аналогичные результаты были получены для ФПА-70-0,12.

При скоростях до $40-60 \text{ см/сек}$ аэрозоли улавливаются в основном вследствие диффузионного осаждения частиц и прямого зацепления. С увеличением скорости начинается инерционное осаждение, причем выше 100 см/сек α становится пропорциональным квадрату радиуса частиц. ЛФС-2 в изученном диапазоне скоростей фильтрации практически полностью улавливала калибровочные аэрозоли (рис. 2).

Пробы приземного воздуха (объемом $60-70 \text{ тыс. м}^3$) отбирались в Подмосковье в апреле — мае 1970 г. в те дни, когда не было осадков. Площадь фильтра равнялась $0,5 \text{ м}^2$, скорость фильтрации $0,75-1,8 \text{ м/сек}$. Количество слоев — три-четыре. После окончания прокачки воздуха каждый слой фильтра спрессовывался в таблетку диаметром $\sim 3 \text{ см}$ и измерялся на полупроводниковом гамма-спектрометре с Ge-Li-детектором объемом 20 см^3 . Разрешение спектрометра 1% , время измерения каждого слоя 5 ч , активность $10^{-9}-10^{-10} \text{ кюри}$.

Размеры частиц и средняя эффективность улавливания частиц определялись по данным рис. 2. Результаты обрабатывали матричным методом. Обозначим через q_j активности частиц j -го диапазона размеров, через Φ_i отношение активности i -го слоя фильтра к общей актив-

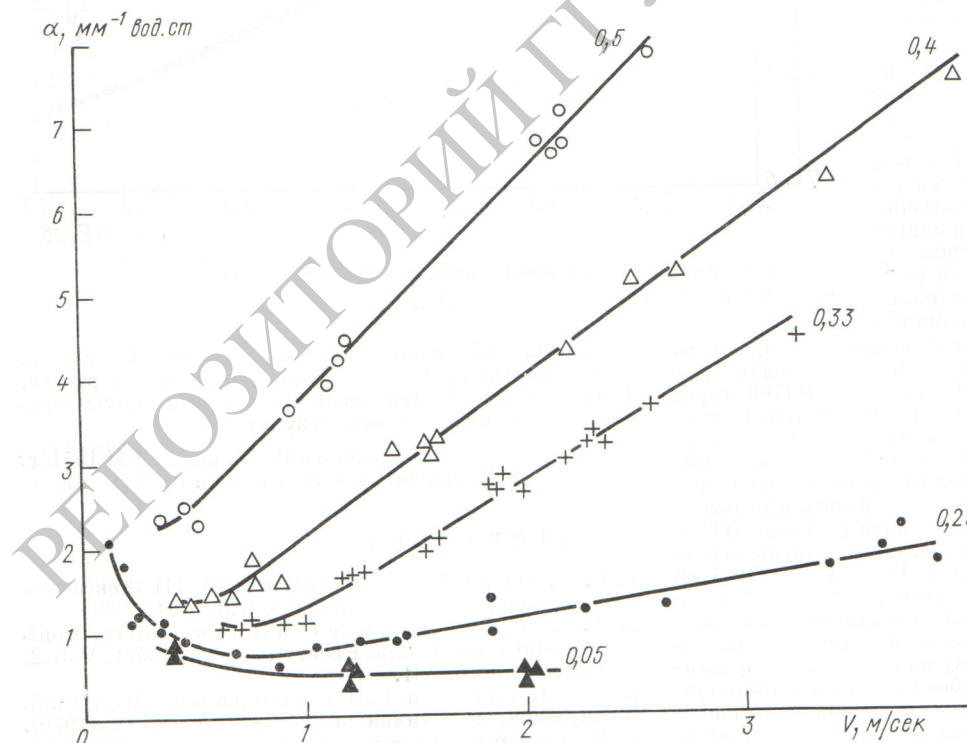


Рис. 1. Зависимость коэффициента фильтрующего действия ФПП-70-0,25 от скорости фильтрации для частиц различных размеров. (Цифры у кривых — радиус частиц в микронах.)

ности пробы, через ε_{ij} — среднюю эффективность i -го слоя фильтра для j -го диапазона размеров. Тогда для трехслойного фильтра можно записать следующую систему уравнений:

$$\left\{ \begin{array}{l} \varphi_1 = \varepsilon_{11}q_1 + \varepsilon_{12}q_2 + \varepsilon_{13}q_3; \\ \varphi_2 = (1 - \varepsilon_{11})\varepsilon_{21}q_1 + (1 - \varepsilon_{12})\varepsilon_{22}q_2 + (1 - \varepsilon_{13})\varepsilon_{23}q_3; \\ \varphi_3 = (1 - \varepsilon_{11})(1 - \varepsilon_{21})\varepsilon_{31}q_1 + (1 - \varepsilon_{12})(1 - \varepsilon_{22}) \times \\ \quad \times \varepsilon_{32}q_2 + (1 - \varepsilon_{13})(1 - \varepsilon_{23})\varepsilon_{33}q_3. \end{array} \right.$$

Решение системы уравнений относительно q_1 , q_2 и q_3 для каждого изотопа дает, как и в работе [2], долю общей активности изотопа, сосредоточенной на частицах выбранного диапазона размеров (см. таблицу).

На полученных результатах следует, что в период отбора проб в приземном слое воздуха основная часть радиоактивных изотопов глобальных выпадений находилась на частицах радиусом меньше 0,5 мк. При этом изотопы Cs^{137} , Ru^{103} , Rh^{106} , имеющие летучих предшественников, а также космогенный изотоп Be^7 , в отличие от изотопов Ce^{144} , Zr^{95} и Nb^{95} сосредоточивались на значительно меньших частицах. Совпадение распределений по частицам изотопа Zr^{95} и его дочернего изотопа Nb^{95} позволяет заключить, что точность метода определения дисперсного состава радиоактивных аэрозолей путем фильтрации на многослойных фильтрах достаточно высока. Относительная среднеквадратичная ошибка для всех исследованных изотопов, полученная усреднением результатов по трем-четырем про-

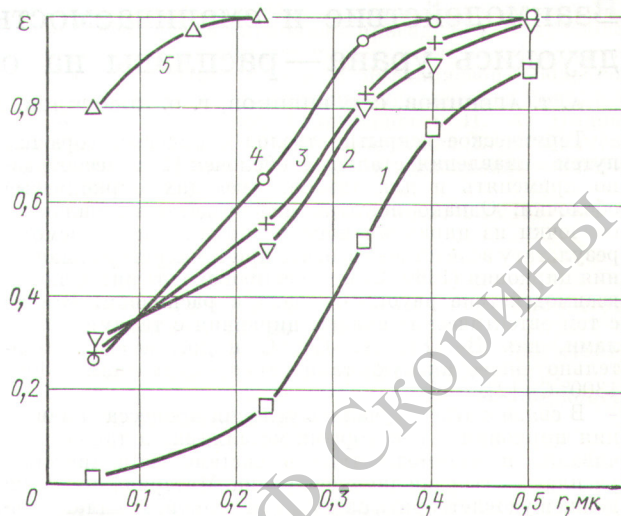


Рис. 2. Зависимость эффективности улавливания аэрозолей от радиуса частиц (r в м/сек):

1 — ФПА-70-0,12, $v = 1,0$; 2 — ФПП-70-0,25, $v = 0,75$; 3 — ФПП-70-0,25, $v = 1,0$; 4 — ФПП-70-0,25, $v = 1,8$; 5 — ЛФС-2, $v = 1,0$.

Распределение радиоактивных частиц по размерам, % (усредненное по двум — четырем пробам)*

| Размер частиц, мк | Zr^{95} | Nb^{95} | Ce^{144} | Be^7 | Ru^{103} | Rh^{106} | Cs^{137} |
|-------------------|------------------|------------------|-------------------|---------------|-------------------|-------------------|-------------------|
| $r < 0,2$ | 38,5 | 43 | 18,7 | 70 | 76,6 | 50,5 | 65,8 |
| $0,2 < r < 0,3$ | { 53,7 | { 51 | { 45,2 | { 29,5 | { 23,4 | { 34,8 | { 34,2 |
| $0,3 < r < 0,5$ | | | { 34,7 | 0,5 | | | |
| $r > 0,5$ | 7,8 | 2,0 | 1,5 | | | 14,7 | |

* Плотность частиц принята равной 2 г/см³.

был, составила 15%, за исключением фракции с $r > 0,5$ мк, для которой определены лишь оценочные значения (ошибка ~100%).

Полученные данные соответствуют существующим представлениям о формировании радиоактивных аэрозолей в облаке ядерного взрыва. Согласно этим представлениям, изотопы, имеющие летучих предшественников, должны сосредоточиваться на более мелких частицах. После поступления радиоактивных аэрозолей в атмосферу различия в размерах частиц независимо от исходных на них изотопов сглаживаются и исчезают за счет процессов вымывания и коагуляции с более крупными аэрозолями [3, 4].

Появившееся тем не менее различие объясняется, по-видимому, двумя причинами: во-первых, тем, что пробы отбирались в период весеннего максимума, т. е. в период интенсивного обмена со стратосферой, и, во-вторых, тем, что в этот период выпадали «свежие» продукты деления от ядерного взрыва 29 сентября 1969 г. [5].

Авторы благодарят Г. В. Сухова за помощь при проведении измерений на полупроводниковом спектрометре.

Поступило в Редакцию 12/VIII 1971 г.
В окончательной редакции 22/XI 1971 г.

ЛИТЕРАТУРА

1. И. В. Петрянов и др. Волокнистые фильтрующие материалы ФП. М., «Знание», 1968.
2. L. Lockhart et al. J. Geophys. Res., 70, 6033 (1965).
3. B. Shleem et al. Science, 147, 290 (1965).
4. Я. И. Газиев. В сб. «Радиоактивные изотопы в атмосфере и их использование в метеорологии». М., Атомиздат, 1965, стр. 153.
5. R. Weingreif et al. Z. Naturforsch., 25a, 1156 (1970).